

INFORME DE GESTIÓN DE LAS AVENIDAS

Febrero de 2026



GOBIERNO
DE ESPAÑA

MINISTERIO
PARA LA TRANSICIÓN ECOLÓGICA
Y EL RETO DEMOGRÁFICO

CONFEDERACIÓN
HIDROGRÁFICA
DEL TAJO, O.A.



Presa de Picadas (Madrid)

1. INTRODUCCIÓN	3
2. AVISOS, PLANES AUTONÓMICOS Y PREDICCIONES	3
2.1. Avisos Meteorológicos de AEMET	3
2.2. Copernicus Emergency Management System. Flood monitoring and forecasting (EFAS)	3
2.3. Activación de Planes de Protección Civil y Avisos ES-ALERT	4
2.4. Fiabilidad de las Predicciones	4
3. BREVE DESCRIPCIÓN DEL EPISODIO: CRONOLOGÍA	5
4. PRECIPITACIONES	6
4.1. Caracterización del Fenómeno Pluviométrico	6
4.2. Acumulados Máximos por Subcuencas	6
4.3. Análisis de Intensidades Máximas Instantáneas	7
4.4. Comparativa Histórica y Percentiles	7
5. NIEVE	8
5.1. Evolución de las Reservas Nivales	8
5.2. Distribución por Subcuencas Nivales	8
5.3. Influencia de la Fusión Nival en el Episodio	8
6. RESPUESTA DE CAUCES	9
7. GESTIÓN DE EMBALSE	11
7.1. Operaciones de Regulación y Laminación	11
7.2. Incrementos de Almacenamiento	14
7.3. Activación de Escenarios de Planes de Emergencia (PEP)	16
8. OTROS ASPECTOS RELEVANTES Y CONCLUSIONES	16
8.1. Coordinación Interinstitucional y Protección Civil	16
8.2. Comunicaciones Internacionales (Protocolo con Portugal)	17
8.3. Seguimiento Satelital de Zonas Inundadas	17
8.4. Actuaciones en Infraestructuras y Gestión de Riesgos	17
8.5. Conclusiones Finales	18

1. INTRODUCCIÓN

El presente informe técnico detalla el análisis y la gestión operativa de la **Confederación Hidrográfica del Tajo** ante una sucesión excepcional de eventos meteorológicos adversos ocurridos entre el **23 de enero y el 16 de febrero de 2026**. Este periodo se caracterizó por una dinámica atmosférica atlántica muy activa que generó una cadena de **siete borrascas consecutivas** (Ingrid, Joseph, Kristin, Leonardo, Marta, Nils y Oriana), lo que supuso una situación de alerta hidrometeorológica ininterrumpida durante **25 días**.

El ámbito geográfico del episodio abarcó la totalidad de la demarcación, con una incidencia crítica en los sistemas occidentales: **Alagón, Árrago, Tiétar y Tajo Bajo**. Asimismo, se registraron respuestas hidrológicas significativas en los sistemas de **Madrid (Jarama, Manzanares y Guadarrama), Henares, Alberche y Cabecera**, donde la precipitación persistente se combinó con procesos de **fusión nival**. La magnitud del evento se evidencia en el volumen almacenado en la cuenca, que el **20 de febrero alcanzó el segundo valor más alto registrado: 9.204 hm³, equivalente al 83,3 % de su capacidad**.

2. AVISOS, PLANES AUTONÓMICOS Y PREDICCIONES

2.1. Avisos Meteorológicos de AEMET

La Agencia Estatal de Meteorología (AEMET) mantuvo una vigilancia constante, activando avisos de niveles amarillo, naranja y rojo por lluvias persistentes, nevadas en cotas variables, vientos huracanados y deshielos. Destacan por su severidad:

- **Borrasca Kristin (27-29 de enero):** Aviso especial por una baja pequeña pero muy profunda que generó rachas de viento de intensidad extraordinaria.
- **Borrasca Leonardo (4-7 de febrero):** Notificación de temporal atlántico con lluvias extraordinariamente persistentes sobre suelos ya saturados, incrementando el riesgo de inundaciones y deslizamientos.

2.2. Copernicus Emergency Management System. Flood monitoring and forecasting (EFAS)

La Confederación Hidrográfica del Tajo recibió las predicciones del sistema **EFAS**, notificándose avisos formales e informales desde el 22 de enero. Las probabilidades de superación de umbrales críticos fueron:

- **Borrasca Joseph:** Se notificó una probabilidad del **63% en el Tiétar, 62% en el Alagón y 43% en el Tajo** de superar el periodo de retorno de 5 años (T=5).
- **Borrasca Leonardo:** Alerta formal para el **Henares (92% de prob. T=5)** y el Tajuña (71% de prob. T=5).

- **Borrasca Oriana:** Alerta informal para el río Tajo con un **100% de probabilidad** de exceder el umbral de 5 años el 14 de febrero.

Es preciso señalar que los periodos de retorno de CAUMAX y EFAS no son equivalentes, debido a que las series de datos históricos utilizadas por el CEDEX y el organismo europeo difieren entre sí. Adicionalmente, el modelo EFAS opera en régimen natural, omitiendo el efecto de laminación de los embalses. Por tanto, sus avisos deben considerarse una **herramienta complementaria y no un indicador determinista** de inundaciones en las zonas referenciadas.

2.3. Activación de Planes de Protección Civil y Avisos ES-ALERT

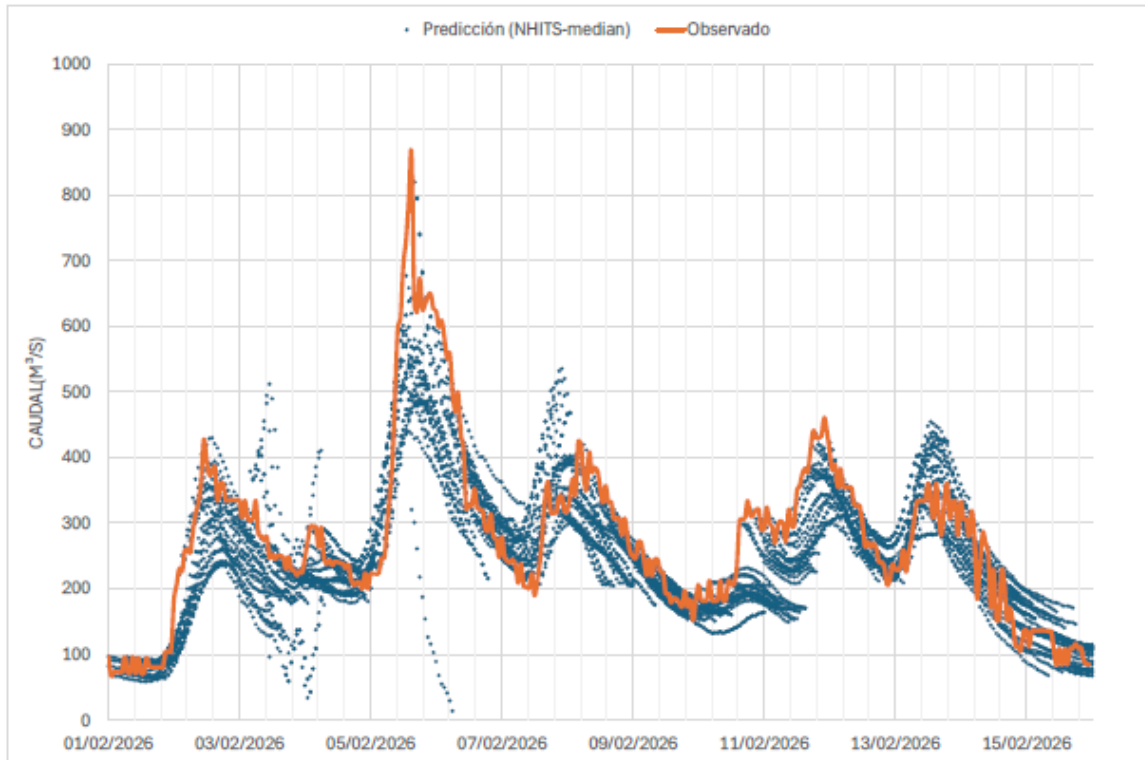
Las administraciones autonómicas activaron sus protocolos de emergencia según la evolución del episodio:

- **INUNCAM (Madrid):** Preemergencia el 03/02 y **Situación Operativa 0** el 10/02.
- **PRICAM (Castilla-La Mancha):** Situación 1 el 06/02 y **Situación Operativa 2 (Emergencia)** el 11/02.
- **INUNCAEX (Extremadura):** Situación 0 el 27/01 y Situación 1 en Cáceres el 04/02.
- **INUNCyL (Castilla y León):** Situación 1 en Ávila y Salamanca el 06/02.

Se emitieron avisos mediante el sistema **ES-ALERT** a la población, destacando la ribera del Alberche (**08/02**) y las poblaciones de Alcolea de Tajo, Azután, El Bercial y Puente del Arzobispo el **10/02** debido al desembalse extraordinario de la presa de Azután.

2.4. Fiabilidad de las Predicciones

El SAIH Tajo utilizó modelos de predicción de alta resolución (**HARMONIE**), sistemas de predicción por conjuntos (**EPS**) y el Sistema de Ayuda a la Decisión (**SAD**) basado en modelos NAM y MIKE 11. Como innovación, se aplicó un modelo de **Machine Learning (ML)** para el embalse de **Rosarito (E_33)**, el cual mostró una tendencia adecuada, aunque subestimó el pico de caudal del 5 de febrero (740 m³/s registrados frente a la banda de confianza del modelo), ajustándose con éxito en el segundo pico del 12 de febrero.



Comportamiento predicción ML vs observado. Fuente: SAIH Tajo.

3. BREVE DESCRIPCIÓN DEL EPISODIO: CRONOLOGÍA

El evento se define técnicamente como un **"tren de borrascas"** con escasa pausa interfrontal, lo que impidió el drenaje de las subcuencas antes de la llegada de nuevas aportaciones.

1. **Ingrid (20-25 de enero):** Inicio del temporal invernal con nevadas en cotas bajas y descenso térmico acusado. Incidencia hidrológica leve, excepto en el Árrago.
2. **Joseph (25-27 de enero):** Ciclogénesis con fuertes gradientes de presión. Provocó los **picos de avenida más altos en el sistema Alagón** y las gargantas del Tiétar la mañana del 27/01. Se iniciaron vertidos en Borbollón (**E_41**), Cazalegas (**E_25**) y Rosarito (**E_33**).
3. **Kristin (27-29 de enero):** Baja profunda de desplazamiento rápido. Generó los picos de caudal más bajos del conjunto, pero obligó a iniciar el desembalse por aliviadero en Cedillo (**E_47**) y Pálmaces (**E_08**) el 28/01.
4. **Leonardo (2-7 de febrero):** El evento más crítico del episodio. La persistencia de la lluvia sobre suelos saturados generó los **caudales máximos registrados** en la mayoría de los ríos el día 5 de febrero. Se incrementaron los vertidos en el Alberche (San Juan (**E_19**) y Picadas (**E_20**)) y Valdeobispo (**E_39**).
5. **Marta (5-9 de febrero):** Continuidad de precipitaciones en el suroeste y zonas de montaña. Se inició una reducción progresiva de desembalses hacia el final de su paso.

6. **Nils (10-12 de febrero):** Provocó un nuevo repunte de los niveles fluviales el día 11, con una respuesta más rápida de los cauces. Se inició el vertido por aliviadero en Gabriel y Galán (E_36) el 12/02.
7. **Oriana (11-16 de febrero):** Cierre del ciclo con inyección de aire ártico y vientos de hasta **140 km/h**. La cota de nieve bajó a 600 metros, estabilizándose la situación el día 16 con la entrada del anticiclón de las Azores.

4. PRECIPITACIONES

4.1. Caracterización del Fenómeno Pluviométrico

Desde un punto de vista hidrológico, el episodio no se definió por intensidades de lluvia extremas o torrenciales, sino por una **extraordinaria persistencia**. Las precipitaciones fueron generalizadas y constantes durante más de tres semanas, lo que provocó una saturación progresiva de los suelos y una generación de escorrentía altamente eficiente.

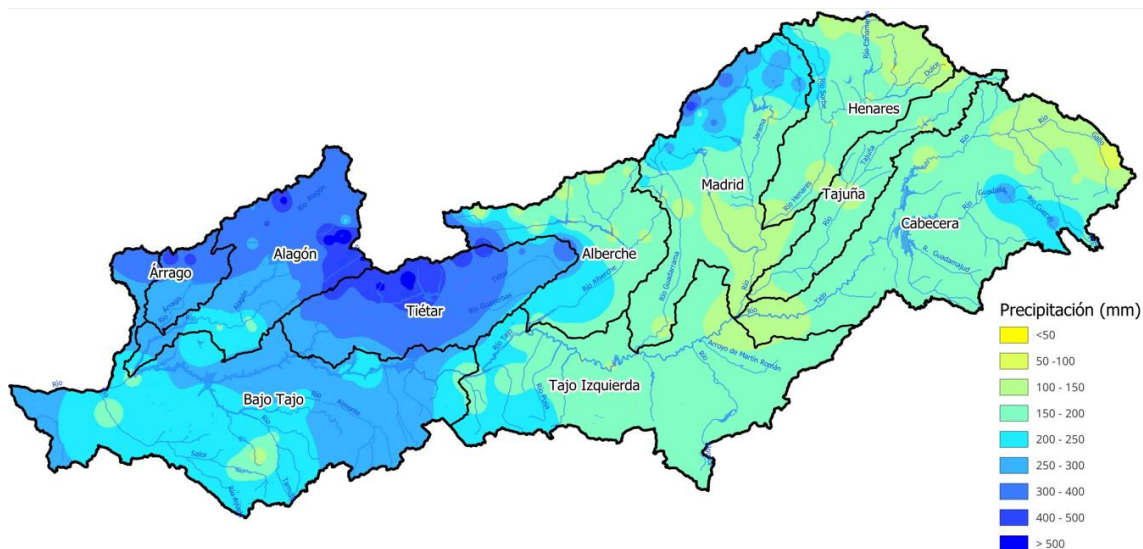
La clasificación de los registros de todos los pluviómetros de la demarcación revela que la **precipitación máxima quinceminutal fue inferior a 10 mm** en todos los puntos de control. Este dato técnico confirma que la magnitud de las avenidas posteriores derivó del volumen acumulado y no de la intensidad instantánea.

4.2. Acumulados Máximos por Subcuencas

Los mayores acumulados de precipitación (>200 mm) se concentraron en la mitad occidental y en las zonas de realce orográfico. Destacan los siguientes registros acumulados entre el 23 de enero y el 16 de febrero:

Sistema	Estación / Punto de Control	Precipitación Acumulada (mm)
Alagón	E_35 (Navamuño)	653,8
Tiétar	P_46 (Barranco de la Hoz en Villanueva de la Vera)	613,0
Alagón	P_52 (Ermita del Calvario – Baños de Montemayor)	573,0
Tiétar	P_47 (Central Eléctrica en Losar de la Vera)	555,2
Alagón	P_55 (La Alberca)	545,0
Tiétar	AR31 (Garganta Minchones)	511,6
Madrid	PN23 (Depósito (La Dehesa) en Rascafría)	470,2
Árrago	P_61 (Alto del Rey en Acebo)	460,6
Alberche	PN34 (Puerto del pico en San Martín del Pimpollar)	418,6

Datos precipitación acumulada durante el evento. Fuente:SAIH Tajo.



Mapa acumulado total demarcación. Fuente: Elaboración propia. SAIH Tajo

4.3. Análisis de Intensidades Máximas Instantáneas

A pesar de la baja torrencialidad general, se registraron picos de intensidad puntual que favorecieron ondas de avenida locales:

- **Sistema Tiétar:** El máximo instantáneo se localizó en la estación **P_48**, Las Becillas – Piornal, con **9,4 mm**.
- **Sistema Alagón:** La estación **E_55**, Presa Villar de Plasencia registró un máximo de **8,0 mm**.
- **Sistema Árrago:** Se registró un máximo de **7,8 mm**, en la estación **E_43**, en la Presa de Rivera de Gata.
- **Sistema Bajo Tajo:** El máximo instantáneo se registró en la presa de Cedillo (**E_47**), con un valor máximo de **7,2 mm**.
- **Sistema Madrid:** Registros máximos de **4,2 mm** en el punto **E_22**, Presa del Rey.

4.4. Comparativa Histórica y Percentiles

El análisis de los percentiles mensuales de febrero sitúa este evento en el rango de lo "excepcional" para varios sistemas de explotación:

- **Sistemas Alagón, Árrago y Tajo Izquierda:** Los acumulados mensuales alcanzaron el **percentil 97** de la serie histórica.
- **Sistemas Cabecera y Madrid:** Los registros se situaron en el **percentil 95**.
- **Sistema Tiétar:** Se alcanzó el **percentil 87** de su serie histórica acumulada.

5. NIEVE

5.1. Evolución de las Reservas Nivales

La concatenación de borrascas, especialmente las de carácter más frío como **Ingrid** y **Oriana**, provocó acumulaciones nivales significativas en el **Sistema Central**.

- **Reserva inicial (23/01):** 38,78 hm³.
- **Máximo del episodio (08/02):** 74,67 hm³.
- **Reserva final (16/02):** 41,75 hm³.

5.2. Distribución por Subcuencas Nivales

A fecha del 16 de febrero de 2026, el volumen de agua en forma de nieve presentaba la siguiente distribución técnica en los principales sistemas regulados:

Código	Subcuenca Nival	Volumen Agua Equivalente (hm ³)
3	Tiétar (en embalse de Rosarito)	9,91
7	Lozoya (en Pinilla)	8,69
2	Jerte (en Plasencia)	8,35
1	Alagón (en Gabriel y Galán)	8,04
4	Alberche (en el Burguillo)	3,39
8	Jarama (en el Vado)	1,33

Fuente: Informe de cuantificación de recursos hídricos acumulados en forma de nieve (Software ASTER).

5.3. Influencia de la Fusión Nival en el Episodio

Los procesos de deshielo fueron determinantes en la respuesta hidrológica de los sistemas de montaña. Destaca el caso del **Sistema Henares**, donde el día **11 de febrero** se registraron niveles altos en los ríos a pesar de que las lluvias no fueron persistentes en esa jornada. Esta respuesta se explica técnicamente por la **combinación de lluvia y fusión nival** en las cabeceras de los ríos **Bornova** y, especialmente, el **Sorbe**. Asimismo, en el sistema Madrid, las aportaciones nivales en la cabecera del **Lozoya** generaron picos de entrada en la presa de Pinilla (**ES_01**) superiores a los **70 m³/s** el 10 de febrero.

6. RESPUESTA DE CAUCES

6.1. Comportamiento Hidrológico General

La respuesta de los ríos de la cuenca del Tajo fue de carácter **multionda**, con picos de avenida sincronizados con el paso de los frentes de las borrascas Joseph, Leonardo y Nils. Técnicamente, se observó un efecto acumulativo por la **saturación del suelo**: precipitaciones de igual magnitud generaron coeficientes de escorrentía significativamente mayores en la segunda mitad del episodio que en la primera.

6.2. Cuadro Resumen de Afros y Periodos de Retorno

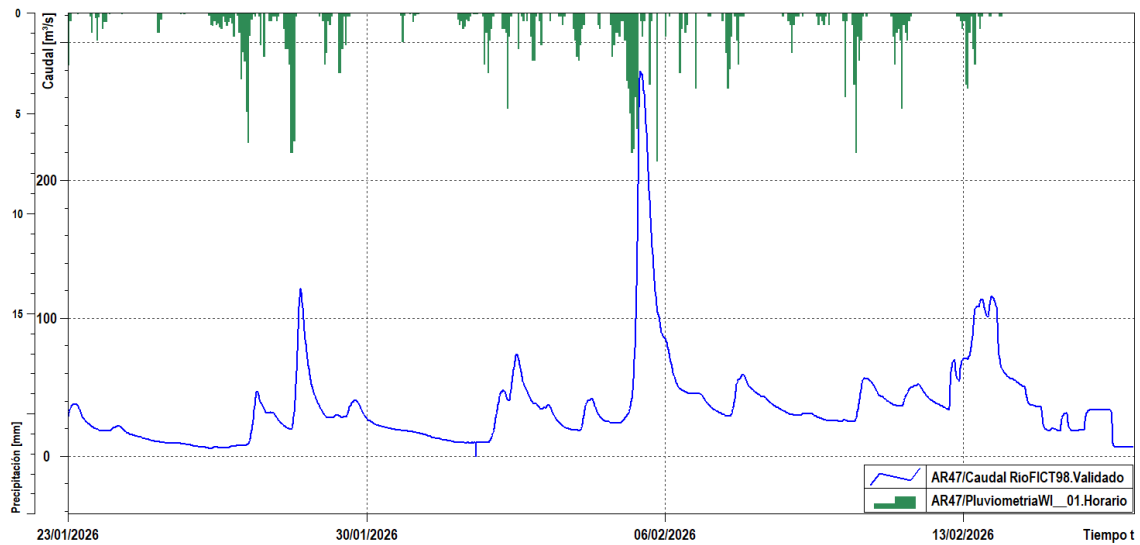
Los caudales más extraordinarios se localizaron en el **Bajo Tajo**, donde los ríos Salor y Erjas superaron umbrales asociados a periodos de retorno de **100 años**. En el sistema Alagón, subcuencas no reguladas como el río Bronco también alcanzaron magnitudes de T=100 años.

Sistema	Estación de Aforo	Río	Caudal Pico m ³ / s	Magnitud (Periodo de Retorno - T)
Cabecera	R005	Tajo (en Trillo)	200	T ~ 5 años
Cabecera	R045	Escabas	50	T ~ 2 años
Cabecera	AR07	Mayor	35	T ~ 25 años
Tajuña	R003	Tajuña (en Loranca)	7,5	< 2 años
Henares	AR12	Henares (en Humanes)	165	T > 2 años
Madrid - Jarama	R174	Jarama (Puente Titulcia)	280	T ~ 2 años
Madrid - Lozoya	R503	Lozoya (Cabecera)	70	T ~ 5 años
Madrid - Manz.	AR18	Manzanares (Rivas)	130	T > 2 años
Alberche	AR65	Alberche (Cazalegas)	320	< 2 años
Tajo Izquierda	AR25	Pusa	150	T > 25 años
Tajo Izquierda	AR27	Uso	175	T > 25 años

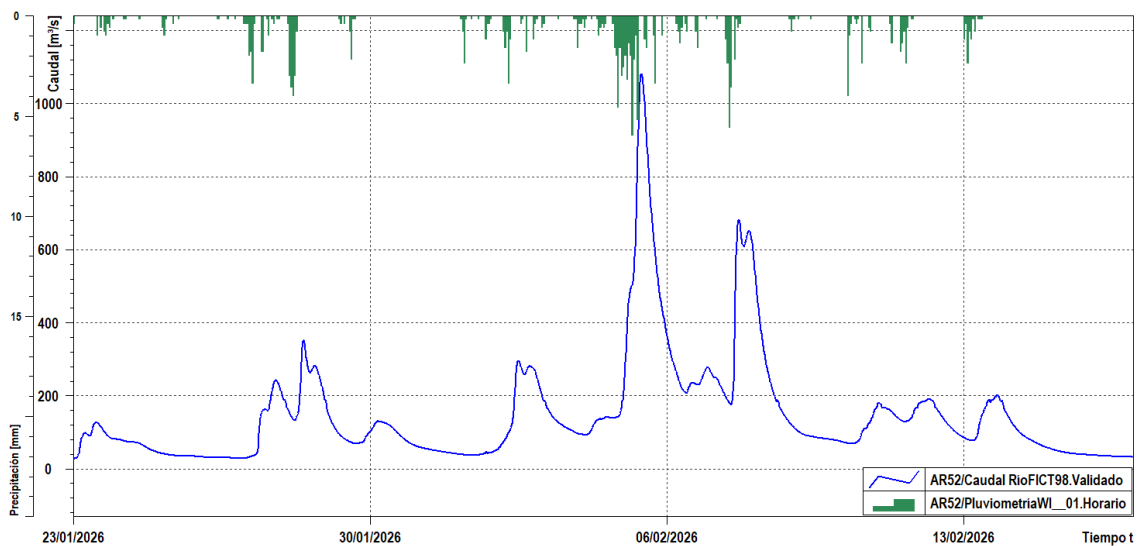
Tiétar	R502	Tiétar (Pozo del Rey)	620	T ~ 5 años
Alagón	AR41	Ambroz	225	T > 5 años
Alagón	AR47	Bronco	280	T ~ 100 años
Alagón	AR49	El Encín	65	T > 100 años
Bajo Tajo	AR52	Salor	1.100	T > 100 años
Bajo Tajo	R163	Erjas	775	T > 100 años

Fuente: Punto 7 - Informe del episodio de lluvias del 23 de enero al 16 de febrero de 2026

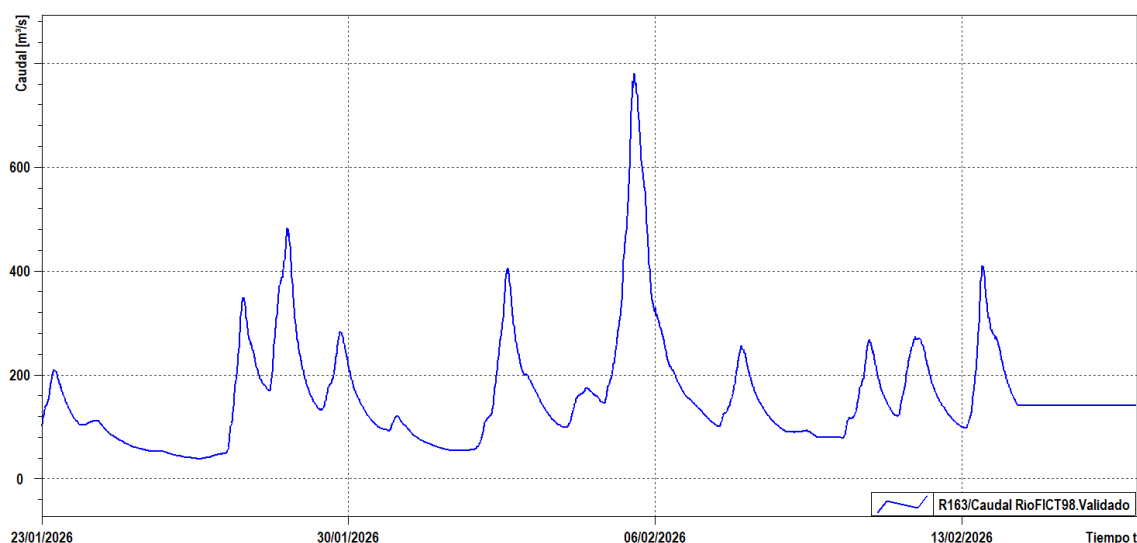
A continuación, presentamos varios hidrogramas donde el periodo de retorno ha superado o ha estado cercanos a los 100 años:



Hidrograma evento estación de aforos AR47. Fuente: SAIH Tajo



Hidrograma evento estación de aforos AR52. Fuente: SAIH Tajo



Hidrograma evento estación de aforos R163. Fuente: SAIH Tajo

7. GESTIÓN DE EMBALSE

7.1. Operaciones de Regulación y Laminación

La gestión técnica permitió reducir drásticamente los caudales punta en las poblaciones de aguas abajo. Los sistemas con mayor capacidad de almacenamiento, como **Cabecera**, lograron porcentajes de laminación superiores al **97%**. Por el contrario, embalses de menor tamaño como **Picadas, Cazalegas o Azután** funcionaron bajo régimen de "entradas por salidas" al agotar rápidamente sus resguardos.

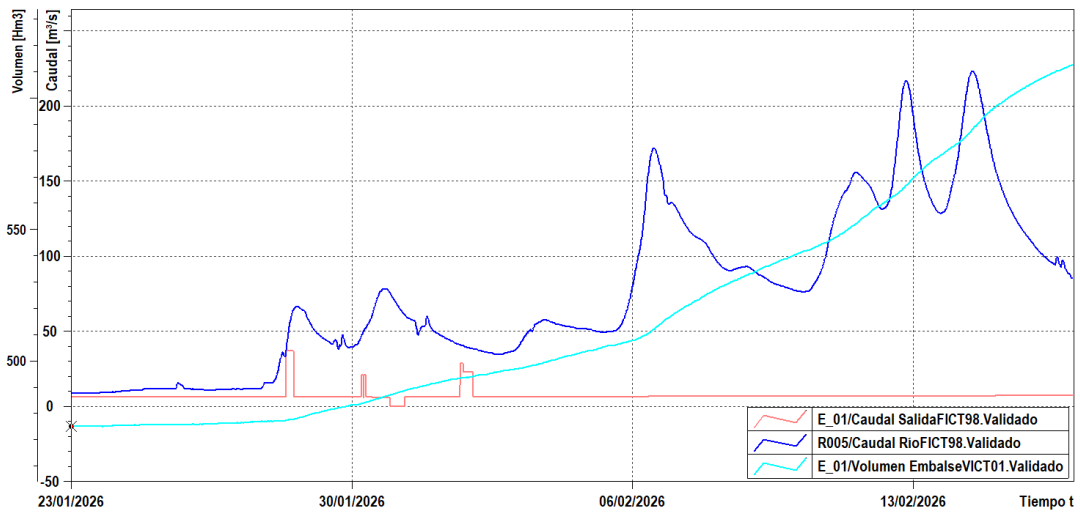
Sistema	Embalse	Q_max_Entrada (m ³ / s)	Q_max_Salida (m ³ / s)	% Laminación (Reducción)
Cabecera	Entrepeñas (E_01)	220	7	97%
Cabecera	Buendía (E_03)	195	3	98%
Henares	Pálmaces (E_08)	75	27,4	63%
Henares	Alcorlo (E_09)	132	18,5	86%
Henares	Beleña (E_11)	116	90	22%
Madrid	El Vado (E_13)	132	115	30%
Madrid	El Atazar (E_14)	135	110	19%
Madrid	Santillana (E_15)	69	25	64%
Madrid	Valmayor (E_16)	30	3	90%

Madrid	El Pardo (E_21)	61	32	48%
Alberche	Burguillo (E_17)	185	75	59%
Alberche	San Juan (E_19)	135	120	11%
Alberche	Picadas (E_21)	120	120	0% (Ent. x Sal.)
Alberche	Cazalegas (E_25)	295	295	0% (Ent. x Sal.)
Tiétar	Navalcán (E_32)	200	173	14%
Tiétar	Rosarito (E_33)	740	470	36%
Alagón	Gabriel y Galán (E_36)	875	365	58%
Alagón	Valdeobispo (E_39)	540	502	7%
Alagón	Jerte (E_40)	390	200	49%
Árrago	Borbollón (E_41)	295	108	63%
Árrago	Ribera de Gata (E_43)	155	60	61%
Bajo Tajo	Valdecañas (E_30)	1437	1370	5%
Bajo Tajo	Alcántara (E_45)	5.157	4.200	19%
Bajo Tajo	Salor (E_46)	220	220	0% (Ent. x Sal.)
Bajo Tajo	Cedillo (E_47)	6.365	6.365	0% (Ent. x Sal.)

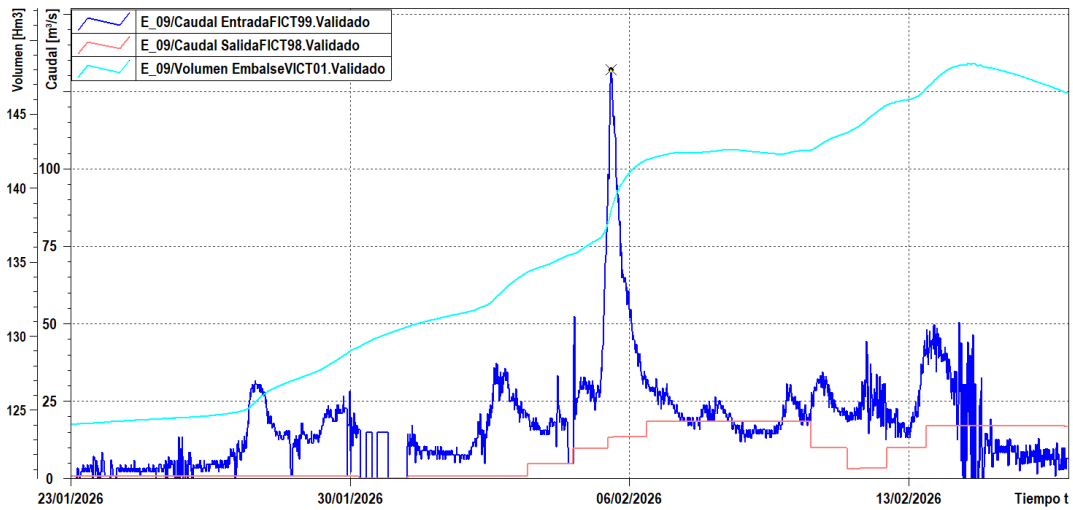
Fuente: Punto 9 - Informe del episodio de lluvias del 23 de enero al 16 de febrero de 2026

Presentamos a continuación varios ejemplos de las laminaciones realizadas por los técnicos del organismo. El azul cian representa el volumen embalsado (hm^3), el azul marino el caudal de entrada a la presa (m^3/s) y el rosa el caudal de salida del embalse (m^3/s).

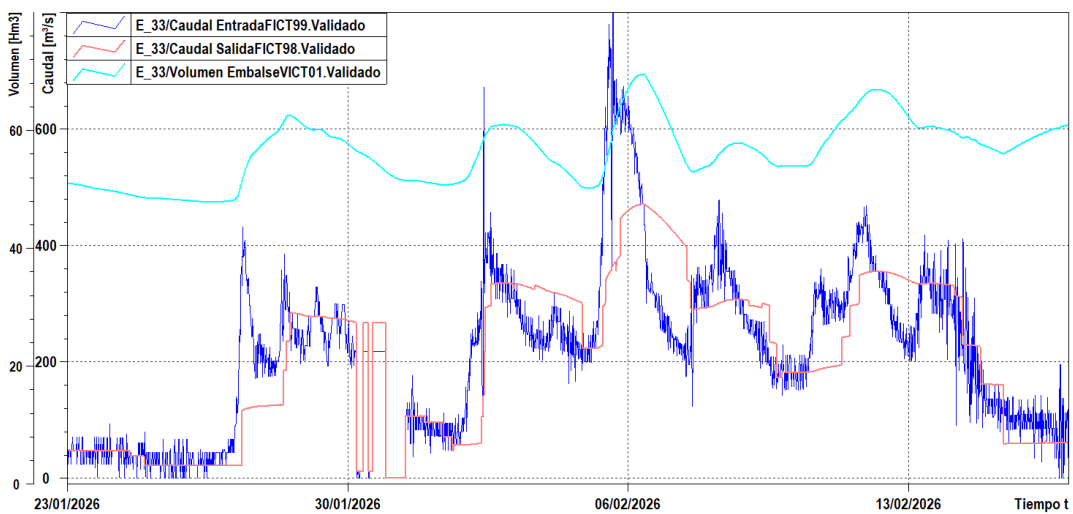
La secuencia de gráficos comienza con el embalse de Entrepeñas (**E_01**), seguido de Alcorlo (**E_09**) y Rosarito (**E_33**). Posteriormente tenemos el embalse del Jerte (**E_40**) para concluir con el de Gabriel y Galán (**E_36**).



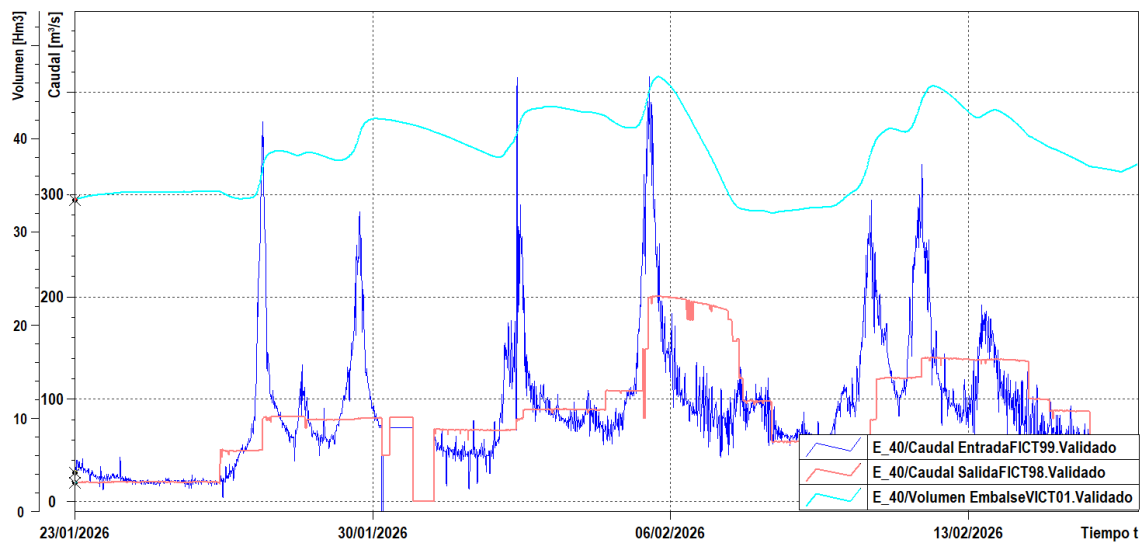
Hydrograph of Entrepeñas dam (E_01). Source: SAIH Tajo



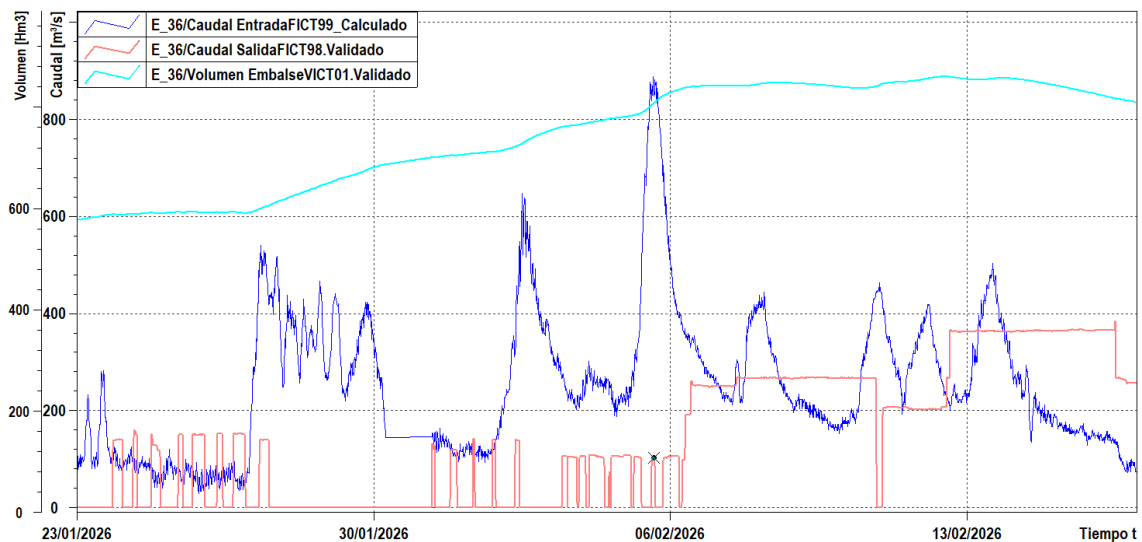
Hydrograph of Alcorlo dam (E_09). Source: SAIH Tajo



Hydrograph of Rosarito dam (E_33). Source: SAIH Tajo



Hydrograph embalse de Jerte (E_40). Fuente: SAIH Tajo

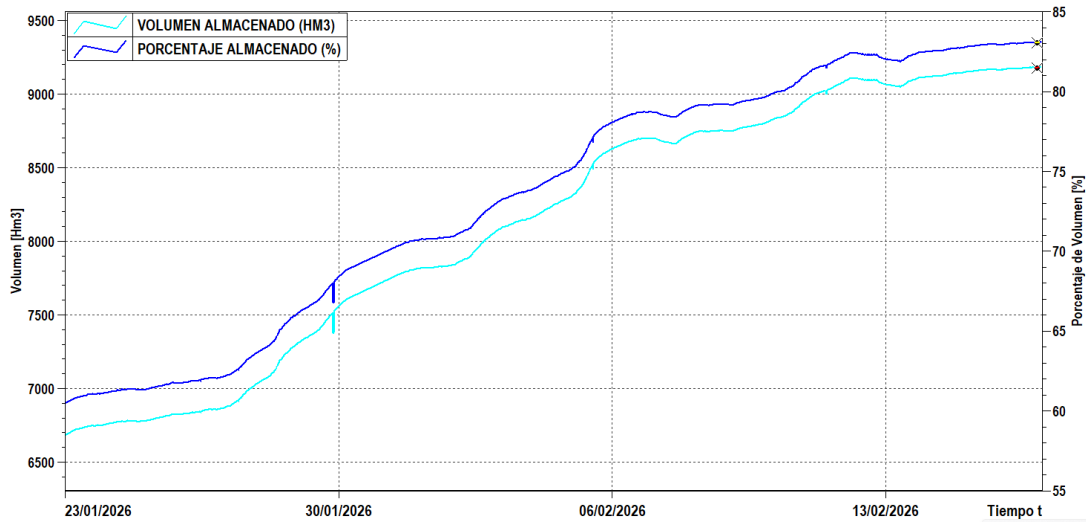


Hydrograph embalse de Gabriel y Galán (E_36). Fuente: SAIH Tajo

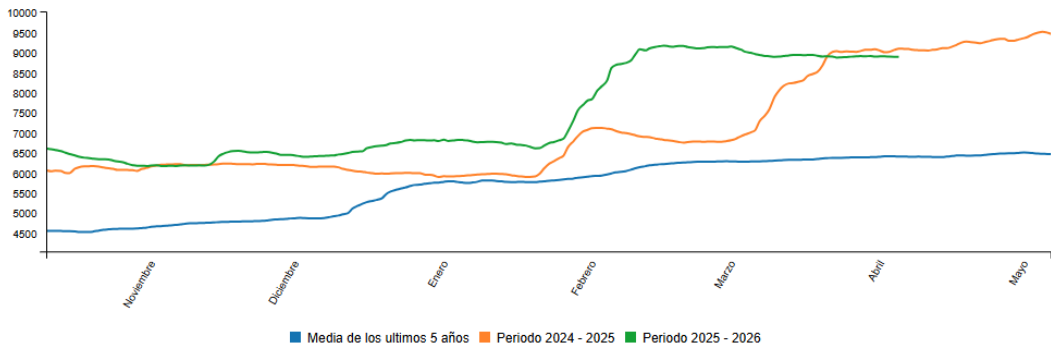
7.2. Incrementos de Almacenamiento

El volumen total de la cuenca aumentó en **2.501,07 hm³** durante el episodio (del **60,5% al 83,1%** de ocupación).

- **Conjunto Demarcación Hidrográfica del Tajo**

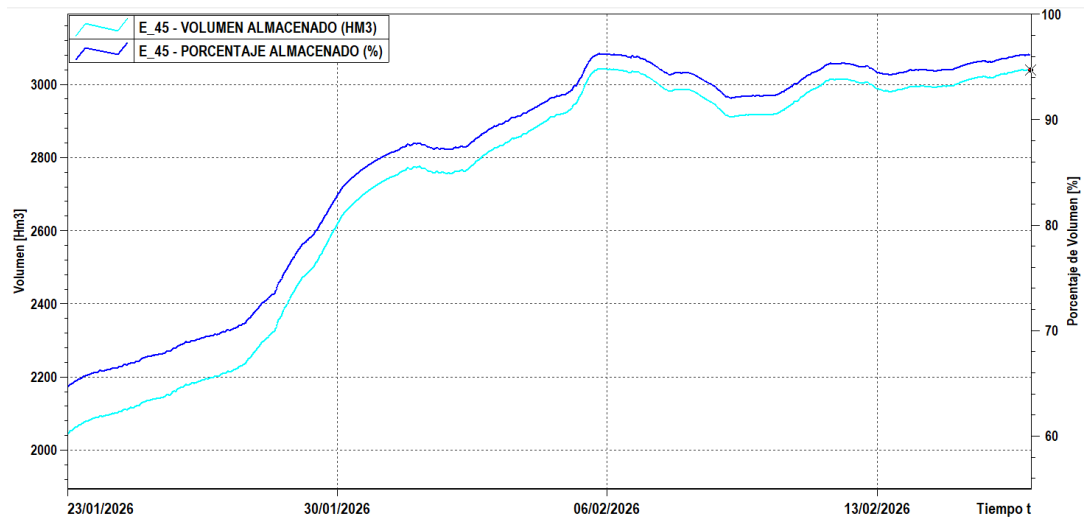


Volumen y porcentaje de almacenamiento Demarcación Hidrográfica del Tajo. Fuente: SAIH Tajo



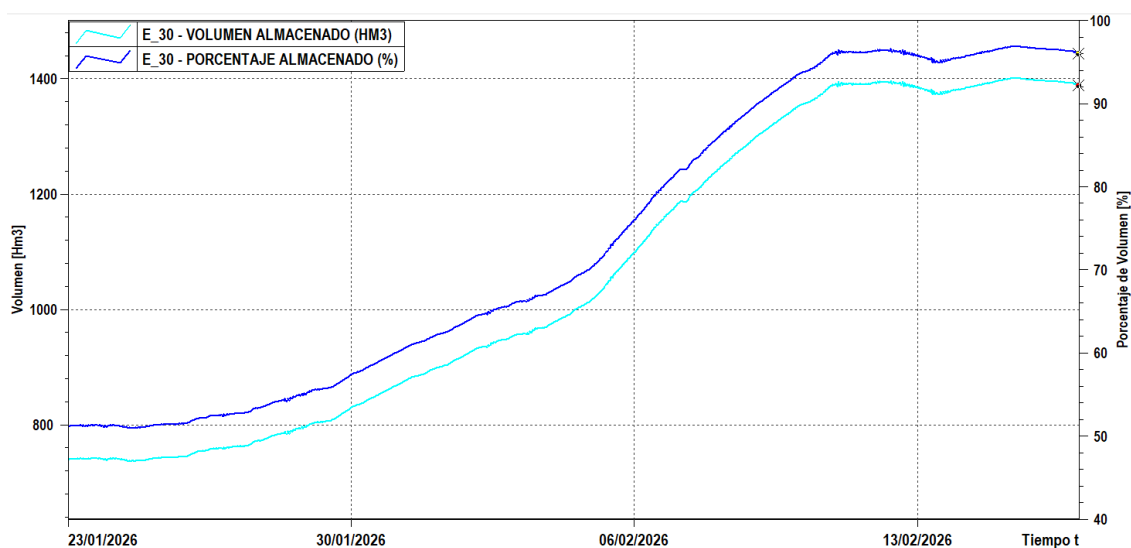
Comparación Volumen almacenado año hidrológico 2025/2026 – 2024/2025 – Media últimos 5 años. Fuente: Web SAIH Tajo

- **Alcántara (E_45):** Registró el mayor incremento absoluto con **995,83 hm³** adicionales.



Volumen y porcentaje de almacenamiento embalse de Alcántara (E_45). Fuente: SAIH Tajo

- **Valdecañas (E_30):** Incrementó su reserva en **649,78 hm³**.



Volumen y porcentaje de almacenamiento embalse de Valdecañas (E_30). Fuente: SAIH Tajo

7.3. Activación de Escenarios de Planes de Emergencia (PEP)

Debido a las complicaciones que generan este tipo de eventos varias presas entraron en **Escenario 0** (Seguimiento/Preemergencia):

1. **Gabriel y Galán (E_36):** Del 12/02 al 16/02 por la detección de filtraciones anormales tras alcanzar niveles de almacenamiento muy elevados, siguiendo lo indicado en sus Normas de Explotación.
2. **Arroyo de la Venta:** Del 28/01 al 16/02.
3. **Cedillo (E_47), Alcántara (E_45) y Valdecañas (E_30):** Activados entre el 04/02 y el 11/02 siguiendo lo indicado en sus Normas de Explotación.

8. OTROS ASPECTOS RELEVANTES Y CONCLUSIONES

8.1. Coordinación Interinstitucional y Protección Civil

Durante los 25 días del episodio, la Confederación Hidrográfica del Tajo (CHT) ejerció su función de asesoramiento técnico y suministro de información hidrológica crítica de forma ininterrumpida.

Cuadro Resumen de Reuniones de Coordinación:

Organismo / Ámbito	Tipología de Reunión	Número de Sesiones
Estado (CENEM)	Unidad de Valoración de Riesgos (UVR)	28
Comunidad de Madrid	ASEM-112 / Informativas	3
Castilla-La Mancha	CECOP / CECOPI (PRICAM)	4
Extremadura	CECOP (PLATERCAEX / INUNCAEX)	9
TOTAL		44

Fuente: Relación de reuniones (Anexo IV). Informe del episodio de lluvias del 23 de enero al 16 de febrero de 2026

8.2. Comunicaciones Internacionales (Protocolo con Portugal)

En cumplimiento de los acuerdos con la **Agência Portuguesa do Ambiente (APA)**, se activaron los protocolos de aviso para caudales superiores a 1.500 m³ / s en la frontera.

- **Intensidad de comunicación:** Se remitieron más de **90 notificaciones formales** por correo electrónico detallando caudales de salida y previsiones.
- **Hito de caudal fronterizo:** El 5 de febrero, el embalse de Cedillo (**E_47**) registró un caudal de **6.365 m³ / s**, el valor más alto registrado en la serie histórica del SAIH Tajo para este punto.

8.3. Seguimiento Satelital de Zonas Inundadas

Para evaluar la afección real y validar la cartografía de peligrosidad, se activaron servicios de teledetección en las zonas de **Coria (Alagón), Tiétar y Escalona (Alberche)**.

- **Copernicus EMS Rapid Mapping:** Proporcionó manchas de inundación en el Alagón y Tiétar, confirmando que la mayoría de las áreas afectadas se situaban dentro de la zona inundable para un periodo de retorno de **10 años (T=10)**.
- **Pleiades NEO:** La Dirección General del Agua adquirió imágenes de alta resolución (RGB y NIR). El análisis técnico determinó que, pese a la magnitud del evento, el cauce del río Alberche no superó los límites de la mancha de inundación T=10 del SNCZI en los sectores analizados.

8.4. Actuaciones en Infraestructuras y Gestión de Riesgos

- **Trasvase Guadarrama-Valmayor:** Se procedió al cierre de la derivación desde el azud de las Nieves cuando el embalse de Valmayor alcanzó el **96% de llenado**, priorizando la seguridad de la presa frente a la captación de recursos. Trasvase y embalse gestionado por CYII.
- **Equilibrio de sistemas:** Tras la estabilización del episodio, el 19 de febrero se inició el trasvase desde **Entrepeñas hacia Buendía** (con un caudal máximo de 28,80 m³/s) para

gestionar el volumen excedente de la cabecera del Tajo. La operación finalizó a finales de marzo con un volumen total trasvasando de aproximadamente 36 hm³, logrando además mitigar posibles afecciones a la fauna piscícola.

8.5. Conclusiones Finales

1. **Excepcionalidad:** El evento se define por su **extraordinaria persistencia (25 días)** más que por la torrencialidad instantánea, con acumulados que superaron los **650 mm** en el sistema Alagón (Navamuelo).
2. **Eficacia de la Regulación:** La gestión técnica de los embalses estatales fue determinante para la seguridad de las poblaciones. Destaca la laminación de la presa **Gabriel y Galán**, que redujo un pico de entrada de 875 m³/s a una salida de 265 m³/s (**reducción >70%**), evitando que el caudal en Coria se incrementara en más de 600 m³/s adicionales durante el periodo de mayor precipitación.
3. **Hito Hidrológico:** La cuenca alcanzó un almacenamiento histórico de **9.204 hm³ (83,3%)** el 20 de febrero, gracias a una aportación neta durante el episodio de **2.501 hm³**. Superando por segundo año consecutivo los 9.000 hm³.
4. **Respuesta Geográfica:** Mientras que el eje principal del Tajo se mantuvo en niveles inferiores a T=2 años, afluentes como el **Salor y el Erjas** registraron avenidas con periodos de retorno superiores a los **100 años**, calificando el evento como extraordinario en el sistema Bajo Tajo.
5. **Desembalse histórico:** La magnitud del evento queda reflejada en el vertido realizado hacia Portugal desde la presa de Cedillo (**E_47**). El **caudal punta de salida** alcanzó los **6.365 m³/s**, lo que supone el **máximo histórico** de la serie del Sistema Automático de Información Hidrológica (**SAIH**) desde su implantación a principios del siglo XXI.